

## 二変数ガンマ分布における密度分布と相関母数の関連性

名古屋工業大学 正員 長尾正志

## 1. 研究の経緯と目的

水工計画において、ガンマ分布は、形状母数の選択に応じて、一方的に減少する逆丁字型分布、指數分布、正の歪をもつ单一ピーク分布、さらに、形状が正規分布に近いものまで、広い範囲にわたる分布形を近似しうるために、極めて有用性が高い。二変数ガンマ分布は、その又次元への拡張である。もちろん、周辺分布がガンマ分布で、所々の母数をもつ二変数ガンマ分布は確定できず、種々の理論分布が存在しうる。著者は、Wicksell, Kibbleらの提案による理論分布式を利用していいるが、この理由は、理論的に健全で、回帰特性が線型的であるなど实用性に優れると考へるからである。

しかし、この式は、第1種変形ベッセル関数を含むために、取扱い難いという批判もある。もちろん、現代の電算の能力からみれば、さほど本質的な難点とも思えないが、その特性を明確にするとともに、比較的容易に計算しうる工夫も必要と考え、密度分布と相関母数の関連性を調べてみた。

## 2. 二変数ガンマ分布の密度分布曲面

以下、形状母数の等しい場合についてのみ扱う。密度分布と相関母数の関連性を理解するために、相関母数の相違による密度分布曲面への影響を、3次元のコンピュータ・グラフィックス（陰線処理すみ）で示す。水平軸には、標準化変量  $\xi = x_1/\lambda_1$ ,  $\eta = x_2/\lambda_2$  ( $x_i$ : ガンマ変量,  $\lambda_i$ : 尺度母数,  $i=1, 2$ ) をとり、二変数指數分布と二変数ガンマ分布に分けて説明する。

2.1 二変数指數分布 a. 理論式 標準化変量  $\xi, \eta$  による結合密度分布は次式で示される。

$$f(\xi, \eta) = (1-\rho)^{-1} \exp\{-(\xi+\eta)/(1-\rho)\} \cdot I_0(2\sqrt{\rho\xi\eta}/(1-\rho)) \quad (1)$$

b. 密度分布曲面 変域  $0 \leq \xi, \eta \leq 3$ , 相関母数  $\rho = 0.1, 0.5, 0.9$  の曲面を図-1に示す。縦軸  $f$  は水平軸の2倍に拡大し、 $f$  軸を中心とした回転角は  $30^\circ$ ,  $\xi$  軸の  $\eta$  軸面に直交した方向からの回転角は  $40^\circ$ ,  $\eta$  軸の分割数は 60 としている。

図より、相関母数  $\rho$  が 1 (完全従属) に近いと、条件付分布は单峰分布形となり、密度曲面が対称軸  $\xi = \eta$  の近傍に集中する。また、 $\rho = 0.1$  に近づくと、結合分布は、それぞれの周辺分布  $f_1(\xi) = e^{-\xi}$ ,  $f_2(\eta) = e^{-\eta}$  である指數分布の独立として積に近づいていく様子が読みとれよう。

2.2 二変数ガンマ分布 a. 理論式  $I_{\nu-1}(x)$  を第1種変形ベッセル関数として、次式となる。

$$f(\xi, \eta) = I_{\nu-1}(\nu)^{-1} \cdot (1-\rho)^{-(\nu-1)/2} \cdot \exp\{-(\xi+\eta)/(1-\rho)\} \cdot (\xi\eta)^{(\nu-1)/2} \cdot I_{\nu-1}(2\sqrt{\rho\xi\eta}/(1-\rho)) \quad (2)$$

ここで  $\nu = 2$  (单一ピークの分布) の場合を示す。上式より、その密度分布は次式で表わされる。

$$f(\xi, \eta) = (1-\rho)^{-1/2} \cdot \exp\{-(\xi+\eta)/(1-\rho)\} \cdot I_0(2\sqrt{\rho\xi\eta}/(1-\rho)) \quad (3)$$

b. 密度分布曲面 密度分布曲面を図-2に示す。縦軸  $f$  は水平軸の20倍とし、 $f$  軸を中心とした回転角は  $30^\circ$ ,  $\xi$  軸の  $\eta$  軸面に直交した方向からの回転角は  $50^\circ$ ,  $\eta$  軸の分割数は 50 である。この場合、正規分布でみられるように、相関母数  $\rho$  が 1 に近づくと、対称軸  $\xi = \eta$  に集中し、 $\rho$  が 0 に近づくと、結合分布は、周辺分布  $f_1(\xi) = \xi e^{-\xi}$ ,  $f_2(\eta) = \eta e^{-\eta}$  の積に近づいていく様子がある。

## 3. 密度分布の相関母数による多項式展開

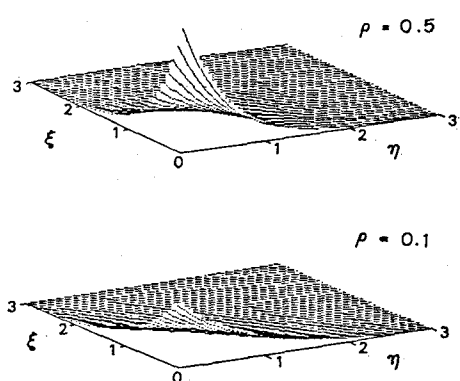
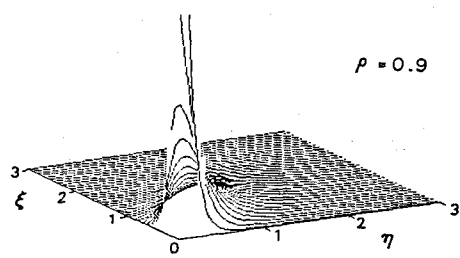


図-1 二変数指数分布の密度分布曲面

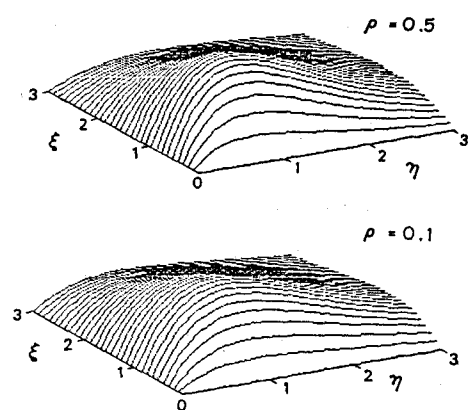
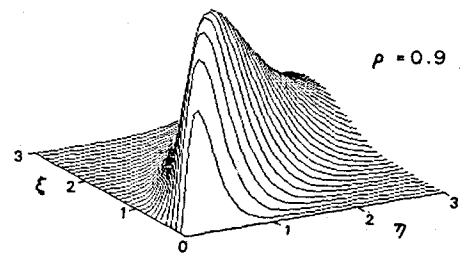


図-2 二変数ガムマ分布の密度分布曲面

相関母数による密度分布への影響をみるために、相関母数による直交多項式としての展開]を示す。

$$3.1 \text{ 基礎式 } f(\xi, \eta) = \left\{ I(\nu) \right\}^{-2} e^{-\xi-\eta} (\xi \eta)^{\nu-1} \sum_{m=0}^{\infty} N B(m, \nu) \cdot L_m^{\nu-1}(\xi) \cdot L_m^{\nu-1}(\eta) \rho^m \quad (4)$$

ここで、 $B(x, y) = I(x) \cdot I(y) / I(x+y)$ ：ベータ関数、 $L_m^{\nu}(x) = \sum_{n=0}^{\infty} (-1)^n \binom{n+\nu}{n-m} x^n / n!$  ラベル多項式 (5)

3.2 相関母数を用いた有限多項式近似 紙義の関係上、二変数指数分布のみを説明する。このとき、(4)式は、 $f(\xi, \eta) = e^{-\xi-\eta} \sum_{m=0}^{\infty} L_m(\xi) \cdot L_m(\eta) \rho^m$  (6) となる。ここで、 $L_m(x) = L_m^0(x) = \sum_{n=0}^{\infty} (-1)^n \binom{n}{n-m} x^n / m!$  ラベルル多項式である。無限級数の(5)式を、有限項  $m$  まで近似した場合の相対誤差  $E_R$  は次式で求められる。 $E_R = e^{-\xi-\eta} \sum_{m=0}^{\infty} L_m(\xi) \cdot L_m(\eta) \rho^m / f(\xi, \eta)$  (7)

なお、上式右辺の  $f$  は式(1)で与えられる。この  $E_R$  を種々の  $n$ ,  $\rho$  および  $\xi$ ,  $\eta$  について計算した。計算結果の概要は以下のとおりである。

- $\xi, \eta$  の変域としては、 $\xi = 0$  で  $f(0, \eta) = (1-\rho)^{-1} \exp \{-\eta / (1-\rho)\}$  となるから、常識的な範囲  $0.5$  ( $0.5$ )  $5.0$  とする。また、対称性より、 $\xi \neq \eta$  とし、誤差許容基準を  $\pm 15\%$  とする。
- $\rho = 0.3$  のとき、 $n=1$  で誤差基準外のものは 55 ケースのうち 4 なので、1 ほど算形近似でよい。もとより、 $n=2$  (2 次近似) とすれば、基準外はなくなり、最大相対誤差も  $4\%$  程度に改善する。
- $\rho = 0.5$  のとき、 $n=2$  で基準外  $8/55$ 、 $n=3$  で  $3/55$  で、3 項形で近似でよい。
- $\rho = 0.7$  のとき、 $n=10$  位にしても誤差基準に改善するが、こんな莫大な計算をするより、直接に変形ベッセル関数を、 $I_\nu(z) = \sum_{m=0}^{\infty} z^{\nu+2m} / (2^{\nu+2m} m! \Gamma(\nu+m+1))$  で計算する方が得策であろう。現実には、相関母数はあまり大きくなりことがないが、以上の結果より、 $\rho \leq 0.3$  位なら算形近似、 $0.5$  位まで 3 次近似、それ以上の  $\rho$  の場合には、直接変形ベッセル関数を求める方がよいであろう。